

1) (1) est l'équation de Navier-Stokes

$\rho(\vec{V} \cdot \vec{\nabla})\vec{V}$ ou encore $\rho(\vec{V} \cdot \text{grad})\vec{V}$ représente le terme convection de $\rho \frac{D\vec{V}}{Dt}$ lorsque on applique la TCI à la particule fluide

- $\text{grad}\rho$ représente la force pressante volumique qui s'applique sur la particule fluide

- $\gamma \Delta \vec{V}$ représente la force de viscosité volumique

- $\gamma \vec{n} \vec{B}$ est la force de Lorentz volumique associée à \vec{B}

(2) traduit l'incompressibilité du fluide

(3) traduit la conservation du flux magnétique à travers un tube de champ

(4) est la loi d'Ohm généralisée

(5) est l'équation de Maxwell-Ampère en régime statique

2) Hyp. énoncé : $\vec{V}(V_x 0 0)$ $V_x(z)$ $\vec{J}(0, J_y, 0)$
 $\vec{B}(B_x(z), 0, B_0)$ $\vec{E}(0, E_0, 0)$

$$\begin{aligned} (1) &\rightarrow 0 = -\frac{\partial f}{\partial x} + \gamma \frac{\partial^2 V_x}{\partial z^2} + J_y B_0 \quad (a) \\ &0 = -\frac{\partial f}{\partial y} \quad (b) \\ &0 = -\frac{\partial f}{\partial z} - J_y B_x(z) \quad (c) \end{aligned}$$

(2) $\rightarrow \frac{\partial V_x}{\partial x} = 0$ ce qui est réalisé dans l'hypothèse

(3) $\rightarrow \frac{\partial B_x}{\partial x} + \frac{\partial B_0}{\partial z} = 0$ ce qui est réalisé dans l'hypothèse (B_0 constante) $B_x(z)$

$$(4) \rightarrow J_y = \sigma(E_0 - V_x B_0)$$

(5) $\rightarrow -\frac{\partial B_x}{\partial y} = 0$ ce qui est vrai

$$\frac{\partial B_x}{\partial y} = 0 \quad \text{ce qui est vrai}$$

$$\frac{\partial B_x}{\partial z} - \frac{\partial B_0}{\partial x} = \mu_j J_y \quad \text{soit} \quad \frac{\partial B_x}{\partial z} = \mu_j J_y$$

4) (1)(a) devient

$$\frac{\partial p}{\partial z} = \gamma \frac{\partial^2 V_x}{\partial z^2} + J_y B_0 \quad (1)$$

avec (4) $\frac{\partial V_x}{\partial z} = \frac{\partial p}{\partial z}$ $\frac{\partial^2 V_x}{\partial z^2} = \frac{\partial^2 p}{\partial z^2}$

$$\frac{\partial^2 V_x}{\partial z^2} - \frac{\partial B_0}{\partial z} V_x = \frac{1}{\gamma} (\frac{\partial p}{\partial z} - J_y B_0 E_0) = \text{cte}$$

$$\text{Intégrons : } V_x = A e^{\frac{\alpha z}{\gamma}} + B e^{-\frac{\alpha z}{\gamma}} + \frac{E_0}{B_0} - \frac{\partial p}{L \sigma B_0^2}$$

C.L : le fluide est visqueux ; on peut donc écrire la continuité de la vitesse en $z = \pm a$ à savoir $V_x(\pm a) = 0$

$$\text{d'où } A e^{\alpha a} + B e^{-\alpha a} + \frac{E_0}{B_0} - \frac{\partial p}{L \sigma B_0^2} = 0 \quad (1)$$

$$A e^{-\alpha a} + B e^{\alpha a} + \frac{E_0}{B_0} - \frac{\partial p}{L \sigma B_0^2} = 0 \quad (2)$$

$$\text{par sommation (1)+(2)} \quad (A+B) \operatorname{ch} \alpha a = \frac{\partial p}{L \sigma B_0^2} - \frac{E_0}{B_0}$$

$$\text{par soustraction (1)-(2)} \quad (A-B) \operatorname{sh} \alpha a = 0$$

$$A = B = \frac{1}{2 \operatorname{ch} \alpha a} \left(\frac{\partial p}{L \sigma B_0^2} - \frac{E_0}{B_0} \right)$$

$$\text{et } V_x(z) = \left(\frac{E_0}{B_0} - \frac{\partial p}{L \sigma B_0^2} \right) \left(1 - \frac{\operatorname{ch} \frac{\alpha z}{a}}{\operatorname{ch} \alpha a} \right)$$

5) V dépend de z ; la vitesse moyenne est donc donnée par $\bar{V}_0 = \frac{1}{2a} \int_{z=-a}^{z=+a} V_x(z) dz$

$$\bar{V}_0 = \left(\frac{E_0}{B_0} - \frac{\partial p}{L \sigma B_0^2} \right) \frac{1}{2a} \left(2a - \frac{1}{\operatorname{ch} \alpha a} \left[\operatorname{sh} \frac{\alpha z}{a} \right]_{-a}^a \right)$$

$$\bar{V}_0 = \left(\frac{E_0}{B_0} - \frac{\partial p}{L \sigma B_0^2} \right) \left(1 - \frac{1}{2 \operatorname{ch} \alpha a} (\operatorname{sh} \alpha a - \operatorname{sh}(-\alpha a)) \right)$$

$$\bar{V}_0 = \left(\frac{E_0}{B_0} - \frac{\partial p}{L \sigma B_0^2} \right) \left(1 - \frac{\operatorname{sh} \alpha a}{\alpha \operatorname{ch} \alpha a} \right)$$

$$V_x(z) = \frac{\bar{V}_0}{1 - \frac{\operatorname{sh} \alpha z}{\alpha \operatorname{ch} \alpha z}} \left(1 - \frac{\operatorname{ch} \frac{\alpha z}{a}}{\operatorname{ch} \alpha a} \right)$$

$$6) J_y = \sigma(E_0 - V_x B_0) \quad \text{d'après (4)}$$

on remplace V_x

$$J_y = \sigma \left[E_0 - \frac{B_0 \bar{V}_0}{1 - \frac{\operatorname{sh} \alpha z}{\alpha \operatorname{ch} \alpha z}} \left(1 - \frac{\operatorname{ch} \frac{\alpha z}{a}}{\operatorname{ch} \alpha a} \right) \right]$$

$$I = \iint \mathbf{J}_y \, dx \, dz = L \int_{z=-a}^{z=a} \mathbf{J}_y \, dz$$

$$I = L \sigma \left[2E_0 a - \frac{B_0 V_0}{1 - \frac{\sinh(2a)}{\sinh(a)}} \left(2a - \frac{2a}{\sinh(a)} \sinh(a) \right) \right]$$

$$I = L \sigma (2E_0 a - 2B_0 V_0)$$

$$1 \quad [I = 2aL \sigma (E_0 - B_0 V_0)]$$

• Pompe électromagnétique : le sens de I est du 0,25 à E donc $E_0 > B_0 V_0$

• Générateur : le sens de I est du à B donc $E_0 < B_0 V_0$

• Débitmètre : $I = 0$ pour $E_0 = B_0 V_0$.
en effet le débit $D = 2a \times 2b V_0 = 4ab \frac{E_0}{B_0}$
avec d.d.p = $E_0 \times 2b$

$$\text{on a } D = \frac{2a \text{ d.d.p}}{B_0} \quad \begin{array}{l} \text{De la mesure de la} \\ \text{d.d.p on déduit le} \\ \text{débit volumique} \end{array}$$

$$7) (1)(c) : \frac{\partial f}{\partial z} = - J_0 B_x(z) \quad (J_y = J_0)$$

$$(5) : \frac{\partial B_x}{\partial z} = \mu J_0$$

$$(4) : J_0 = \sigma E_0 \quad (\text{car } V_x = 0)$$

$$\Rightarrow \text{en intégrant (5) } \boxed{B_x = \mu J_0 z} \quad \boxed{(B_x(z=0)=0) \text{ par hyp.}}$$

$$\text{avec (4)} \rightarrow B_x = \mu \sigma E_0 z$$

$$\text{d'où (1)(c)} \rightarrow \frac{\partial f}{\partial z} = - J_0 \mu \sigma E_0 z$$

$$\text{intégrons : } f = - J_0 \mu \sigma E_0 \frac{z^2}{2} + f(x)$$

$$(1)(a) : \frac{\partial f}{\partial x} = J_0 B_0 \text{ donc } J_0 B_0 = f'(x)$$

$$\text{soit } f(x) = J_0 B_0 x + \text{cte}$$

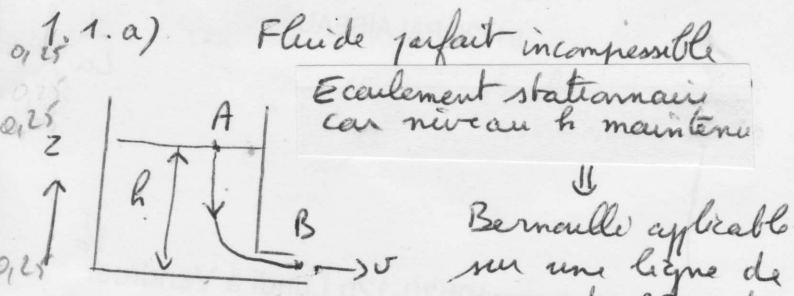
$$f = - J_0 \mu \sigma E_0 \frac{z^2}{2} + J_0 B_0 x + \text{cte}$$

$$f = - \frac{J_0^2 \mu z^2}{2} + J_0 B_0 x + \text{cte}$$

Résumé

En faisant circuler un fluide conducteur visqueux entre 2 électrodes parallèlement à celles-ci, et en le soumettant en plus à un champ magnétique, on obtient 3 comportements possibles :

- un courant apparaît dans le sens du champ imposé par les électrodes (ce qui semble normal)
- un courant apparaît en sens inverse du champ imposé par les électrodes (phénomène lié à la viscosité)
- aucun courant ne s'établit et alors la d.d.p entre les électrodes est proportionnelle au débit volumique moyen du fluide. Pour ce comportement il faut ajuster la valeur du champ magnétique imposé.



Bernoulli applicable
sur une ligne de
courant AB entre

la surface de l'eau et la sortie CE.

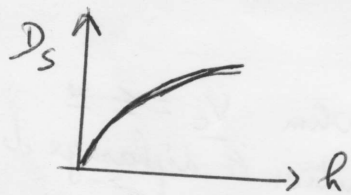
$$f_A + \frac{1}{2} \rho v_A^2 + \rho g z_A = f_B + \frac{1}{2} \rho v_B^2 + \rho g z_B$$

avec $v_A = 0$ ($h = \text{cste}$) $h = z_A - z_B$

$$f_A = f_B = f_0$$

$$\rightarrow v_B = \sigma = \sqrt{2gh} \quad (\text{formule de Toricelle})$$

1.1. b) $D_s = \sigma s$ donc $D_s = S\sqrt{2gh}$



1.2. a) A l'équilibre $D_{E_0} = D_{S_0} = S\sqrt{2gh_0}$

1.2. b) $(D_E - D_s) dt$ représente la variation du volume dans la cuve pendant dt . On peut l'exprimer aussi avec l'accroissement (algébrique) dh , par $S' dh$.

$$\rightarrow (D_E - D_s) dt = S' dh \quad (\text{signes cohérents})$$

$$\rightarrow D_E - D_s = S' h$$

L'énoncé suggère de prendre $\sigma = \sqrt{gh}$ de la question 1.1. b).

C'est vrai dans la mesure où le régime reste quasi-stationnaire puisque cette formule découlle de cette condition. Pour être quasi-stationnaire il faut que h évolue lentement. Si $S' \gg S$ ce sera le cas.

Avec $D_s = S\sigma = S\sqrt{2gh}$ on obtient $D_E - S\sqrt{2gh} = S' h$

s'at
$$h + \frac{S\sqrt{2g}}{S'} h^{\frac{1}{2}} = \frac{D_E}{S'}$$

Identifier avec l'énoncé : $\beta = \frac{S\sqrt{2g}}{S'} \quad S = \frac{D_E}{h}$

1.3) Enoncé : $h = h_0 + z$ ($z \ll h_0$)

$$D_E = D_{E_0} + e(t)$$

$$\rightarrow (h_0 + z)^{\frac{1}{2}} + \frac{S\sqrt{2g}}{S'} (h_0 + z)^{\frac{1}{2}} = \frac{D_{E_0} + e}{S'}$$

et pour $z \ll h_0$: $(h_0 + z)^{\frac{1}{2}} \approx \sqrt{h_0} \left(1 + \frac{z}{2h_0}\right)$

$$\rightarrow z + \frac{S\sqrt{2g}h_0}{S'} \left(1 + \frac{z}{2h_0}\right) = \frac{D_{E_0} + e}{S'}$$

or à l'équilibre $D_{E_0} = S\sqrt{2gh_0}$ (cf 1.2.a)

Cela se simplifie en $z + \frac{S\sqrt{2g}}{S'} z = \frac{e}{S'}$

Identifier avec l'énoncé : $\tau = \frac{S'}{S} \sqrt{\frac{2h_0}{g}}$

z et $\frac{z}{\tau}$ ont même dimension, donc

τ est un temps ; vitesse s

on vérifie que $\frac{S'}{S} \sqrt{\frac{2h_0}{g}}$ est un temps

$$\frac{S'}{S} \sqrt{\frac{2h_0}{g}} \sim \sqrt{\frac{L}{4T^2}} \text{ n'est ok}$$

1.4) Notation complexe à introduire pour simplifier le calcul :

$$e = \underline{e}_0 e^{i\omega t} \quad z = \underline{z}_0 e^{i\omega t}$$

$$\underline{z} + \frac{\underline{z}}{\tau} = \frac{\underline{e}}{S'} \text{ devient alors } \underline{z} \left(\frac{i\omega + 1}{\tau} \right) = \frac{\underline{e}}{S'}$$

d'où $H = \frac{\underline{e}}{\underline{e}} = \frac{1}{S' \left(\frac{1}{\tau} + i\omega \right)} = \frac{\tau}{S'} \cdot \frac{1}{1 + i\omega \tau}$

alors $H(0) = \frac{\tau}{S'}$ pour $\omega = 0$

Ainsi $\underline{H}(\omega) = \frac{H(0)}{1 + i\omega \tau}$

$H(0)$ est en s.m^{-2} (de m en $\underline{H}(\omega)$)

Voici un exemple où H n'est pas adimensionnée. (Tant dépend de la définition de H)

0,25 A.1) a) Loi de Wien : $\lambda_m T = \text{cte}$

1) b) Soleil connu : $\lambda_m T = 0,5 \cdot 10^{-6} \text{ m}$
d'où $\text{cte} = 3 \cdot 10^3 \text{ K.m}$

Cruste terrestre : $T \approx 290 \text{ K}$

0,75 d'où $\frac{\lambda}{T_{\text{terre}}} \approx \frac{3 \cdot 10^3}{290} \approx 10 \mu\text{m}$

0,25 Couche de CO_2 en atmosphère : $T \approx 260 \text{ K}$
d'où $\frac{\lambda_{\text{CO}_2}}{T} \approx \frac{3 \cdot 10^3}{260} \approx 11 \mu\text{m}$

0,25 A.1) c) Loi de Stefan : $P = \sigma S T^4$
puissance rayonnée par un corps noir de surface S , température T en Kelvin

A.2) a) Couche + croute : $\phi_s = \phi_c$
Cruste seule : $\phi_s + \phi_c = \phi_t$

A.2) b) Supprimer ϕ_c → $\phi_t = 2\phi_s$
d'où $\sigma T_t^4 = 2\phi_s \rightarrow T_t = \left(\frac{2\phi_s}{\sigma}\right)^{\frac{1}{4}}$

Modèle sans couche : $\phi_s = \phi_t$
→ $T_t' = \left(\frac{\phi_s}{\sigma}\right)^{\frac{1}{4}}$

T_t (modèle avec couche) = $2^{\frac{1}{4}} T_t'$ (modèle sans couche)

B.1) Ensemble : $\phi_s = \phi_N$ (a)

P^{en} couche : $2\phi_p = \phi_{p-1} + \phi_{p+1}$ (b)

P^{en} couche : $2\phi_1 = \phi_2 + \phi_t$ (c)

Cruste : $\phi_t = \phi_s + \phi_1$ (d)

Il y a plusieurs moyens d'arriver au résultat demandé, mais le plus simple, que l'on ailleurs trouvé un peu, est celui-ci :

Supposons que $\phi_t = K \phi_s$

on a alors (d) : $K \phi_s = \phi_s + \phi_1$
soit $\phi_1 = (K-1) \phi_s$

(c) devient alors : $2(K-1) \phi_s = \phi_2 + K \phi_s$
soit $\phi_2 = (K-2) \phi_s$

Ainsi de suite ; on devine que
 $\phi_N = (K-N) \phi_s$

alors (a) devient $\phi_s = (K-N) \phi_s$

d'où $K = N+1$

B.3) $\phi_t = K \phi_s = (N+1) \phi_s$

⇒ $\sigma T_t^4 = (N+1) \phi_s$

$T_t = (N+1)^{\frac{1}{4}} \left(\frac{\phi_s}{\sigma}\right)^{\frac{1}{4}}$

Plus N est grand, plus T_t est grande

Autre méthode :

(c) + (d) → $\phi_1 = \phi_2 + \phi_s$ (c')

2^e couche → $2\phi_2 = \phi_1 + \phi_3$ (c₂)

(c) + (c') → $\phi_2 = \phi_3 + \phi_s$ (c₂')

3^e couche → $2\phi_3 = \phi_2 + \phi_4$ (c₃)

(c₃) + (c₂') → $\phi_3 = \phi_4 + \phi_s$

etc

(d) → $\phi_t = \phi_s + \phi_s + \phi_s + \phi_s + \dots$

(d) → $\phi_t = \phi_s + \phi_s + \phi_s + \phi_s + \dots$

\downarrow
 $\phi_t = \phi_s + N \phi_s$
par N couches

$\phi_t = \phi_s(N+1) = K \phi_s$
 $K = N+1$

21) Fluide parfait = sans viscosité

22) Approximation acoustique : toute modification apportée par l'onde acoustique sur la pression, la vitesse des particules fluides, la T , la masse volumique est un infiniment petit du 1^e ordre (du \bar{m} pour leurs dérivées)

23) Hyp du modèle de propagation onde acoustique
• pesanteur négligée

0,15 • écoulement ou fluide parfait
• transformations adiabatiques et réversibles

24) Euler : $(P_0 + \rho) \left(\frac{\partial \vec{v}}{\partial t} + (\vec{v} \cdot \nabla) \vec{v} \right) = -\nabla P_0$

linéarisée : $\left[\frac{\partial \vec{v}}{\partial t} = -\nabla P_0 \right] \text{ ou } \left[\frac{\partial \vec{v}}{\partial t} = -\frac{\partial P}{\partial x} \right]$

Conser^masse : $\frac{\partial (P_0 + \rho)}{\partial t} + \operatorname{div}((P_0 + \rho) \vec{v}) = 0$

linéarisée : $\left[\frac{\partial P_0}{\partial t} + P_0 \operatorname{div} \vec{v} = 0 \right] \text{ ou } \left[\frac{\partial P_0}{\partial t} + P_0 \frac{\partial \vec{v}}{\partial x} = 0 \right]$

Coefficient de compressibilité isentropique :

$X_s = \frac{1}{P} \left(\frac{\partial P}{\partial T} \right)_s = \frac{1}{P_0} \frac{\Gamma}{T}$

$\rightarrow \frac{\partial^2 \Gamma}{\partial x^2} = -P_0 \frac{\partial^2 \vec{v}}{\partial x \partial t} = \frac{\partial^2 P}{\partial t^2} = P_0 X_s \frac{\partial^2 \Gamma}{\partial t^2}$

soit $\left[\frac{\partial^2 \Gamma}{\partial x^2} - P_0 X_s \frac{\partial^2 \Gamma}{\partial t^2} = 0 \right] \rightarrow c_s = \frac{1}{\sqrt{P_0 X_s}}$

25) GP adiab. rév : $PV^\gamma = \text{cte}$ ou $P\rho^{-\gamma} = \text{cte}$

soit : $\frac{dP}{P} - \gamma \frac{df}{\rho} = 0 \rightarrow \left(\frac{\partial P}{\partial P} \right)_s = \frac{P'}{P^\gamma} \approx \frac{P_0}{P_0^\gamma}$

$\rightarrow X_s = \frac{1}{P} \left(\frac{\partial P}{\partial T} \right)_s = \frac{1}{P} \frac{P_0}{P_0^\gamma} \approx \frac{1}{P_0^\gamma}$ à l'ordre 1

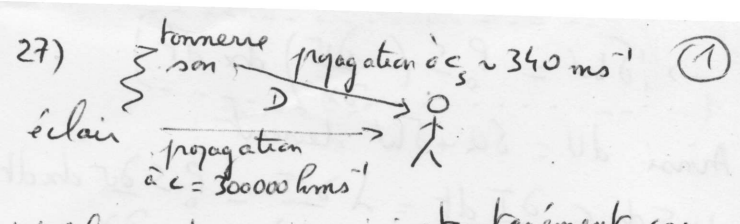
$c_s = \sqrt{\frac{P_0}{P_0^\gamma}}$

or GP : $P_0 = \frac{P_0 R T_0}{\pi} \rightarrow c_s = \sqrt{\frac{\gamma R T_0}{\pi}}$

26) $\gamma = \frac{C_P}{C_V} = \frac{\frac{7}{2}R}{\frac{5}{2}R} = \frac{7}{5}$ pour un GP diatomique comme l'air

l'air = $\frac{4}{5}N_2 + \frac{1}{5}O_2$ $\bar{\rho}_{\text{air}} = \frac{4}{5}\bar{\rho}_{N_2} + \frac{1}{5}\bar{\rho}_{O_2} = \frac{4}{5} \times 28.1 + \frac{1}{5} \times 32.0$

$c_s = \sqrt{\frac{1.4 \times 8.31 (273+20)}{29 \cdot 10^{-3}}} = 343 \text{ m.s}^{-1}$ $\bar{\rho}_{\text{air}} = 29 \text{ g.mol}^{-1}$



L'éclair est vu quasi instantanément car $c = 300000 \text{ km.s}^{-1}$. Le son émis avec l'éclair se propage à seulement 340 m.s^{-1} . On compte la durée τ séparant la vision de l'éclair et la perception du tonnerre. On déduit $D \approx c_s \tau \approx 340 \tau$

28) Les équations (Euler, conser^masse, X) sont les mêmes mais on prend maintenant X_T (isotherme) au lieu de X_s (isentropique) on aboutit donc à $c_{\text{son}} = \frac{1}{\sqrt{P_0 X_T}}$

GP : $P \rho^{-1} = \text{cte}$ pour $\text{isoT} \rightarrow \frac{dP}{P} - \frac{df}{\rho} = 0$

$\rightarrow \left(\frac{\partial P}{\partial P} \right)_T = \frac{P}{P} \approx \frac{P_0}{P_0} \rightarrow c_{\text{son}} = \sqrt{\frac{RT_0}{\pi}}$

$c_{\text{son isoT}} = 290 \text{ m.s}^{-1}$

29) La valeur connue de $c_{\text{son}} \approx 330 \text{ m.s}^{-1}$ rejette le modèle isentropique

(3)

38) onde stationnaire en $(A \cos kx + B \sin kx) \cos \omega t$ devant respecter pour la surpression $f(x=0) = f_m$ et $f(x=L) = 0$

d'où $f = f_m \cos kx \cos \omega t$

$$\text{avec } k = \frac{2\pi}{\lambda} = \frac{2\pi}{4L} = \frac{\pi}{2L}$$

s'at $f = f_m \cos \frac{\pi x}{2L} \cos \omega t$

0,75

Euler linéarisi: $P_0 \frac{\partial v}{\partial t} = - \frac{\partial P}{\partial x}$

$$\rightarrow P_0 \frac{\partial v}{\partial t} = f_m \frac{\pi}{2L} \frac{\sin \frac{\pi x}{2L}}{2L} \cos \omega t$$

$$\rightarrow v = \frac{f_m \frac{\pi}{2L} \sin \frac{\pi x}{2L} \sin \omega t}{P_0 2L \omega} \quad \left\{ \begin{array}{l} (\text{sq: 0,75}) \\ 1m = 0 \\ \omega = 0 \\ \omega = 0 \end{array} \right.$$

Rq avec $c = \frac{\omega}{k} = \frac{\omega 4L}{2\pi} = \frac{2\omega L}{\pi}$

on a aussi $v = \frac{f_m \sin \frac{\pi x}{2L} \sin \omega t}{c P_0} = \frac{f_m \sin \frac{\pi x}{2L} \sin \omega t}{P_0 2L}$

39) $\underline{s} = \int v dt = - \frac{f_m \frac{\pi}{2L} \sin \frac{\pi x}{2L} \cos \omega t}{P_0 2L \omega^2} \frac{2L}{2L}$

0,75

$$s_m = \frac{f_m \frac{\pi}{2L} \omega}{P_0 2L \omega^2} = \frac{f_m}{c P_0} = \frac{f_m}{P_0} \sqrt{\frac{\pi}{8RT_0}}$$

0,25

$$\underline{s} = \frac{s_m}{\omega} = \frac{f_m \frac{\pi}{2L} \omega}{P_0 2L \omega^2} =$$

0,5

La transformation est adiabatique réversible

donc $P^{1-\gamma} T^\gamma = \text{cte} \Rightarrow \frac{(1-\gamma)dP}{P} = \frac{\gamma dT}{T}$

ou encore $\frac{(1-\gamma)T}{P_0} = - \frac{\gamma T}{T_0}$

ainsi $\frac{(1-\gamma)T_m}{P_0} = \frac{\gamma T_m}{T_0}$

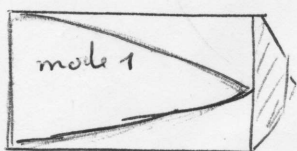
0,75

$$\rightarrow T_m = T_0 \left(\frac{\gamma-1}{\gamma} \right) \frac{T_m}{P_0}$$

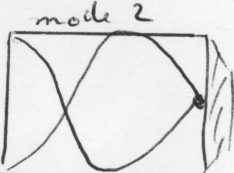
36) Enoncé $P(L,t) = P_0$ donc $f(L,t) = 0$
 en $x=L$ s'at noeud de surpression donc ventre de vitesse

En $x=0$ c'est fermé donc $v(x=0) = 0$
 S'at un noeud de vitesse donc un
 ventre de surpression en $x=0$

D'où le schéma en onde de surpression



$$0 \quad L = \frac{\lambda}{4} \quad L \rightarrow$$



$$0 \quad L = \frac{\lambda}{4} + \frac{\lambda}{2} \quad L \rightarrow$$

Node $n > 0$: $L = (2n-1) \frac{\lambda_n}{4}$
 n entier

37) $\lambda = c_s \tau$
 Enoncé: $\lambda = 4L \Rightarrow \tau = \frac{4L}{c_s}$

avec $c_s = \sqrt{\frac{8RT_0}{\pi}}$ $\rightarrow \tau = 4L \sqrt{\frac{\pi}{8RT_0}}$

AN $\tau = 4 \times 0,5 \sqrt{\frac{8 \times 10^{-3}}{1,4 \times 8,31 \times 300}} = 1,5 \text{ ms}$

0,25